

浙江大学实验报告

专业：信息工程

姓名：张青铭

学号：3200105426

日期：10.8

地点：_____

课程名称：数字信号处理 指导老师：徐元欣 成绩：_____

实验名称：有限长序列、频谱、DFT 的性质 实验类型：演示 同组学生姓名：——

一、实验目的和要求

设计通过演示实验，建立对典型信号及其频谱的直观认识，理解 DFT 的物理意义、主要性质。

二、实验内容和步骤

2-1 用 MATLAB，计算得到五种共 9 个序列：

$$2-1-1 \text{ 实指数序列 } x(n) = \begin{cases} a^n & 0 \leq n \leq \text{length}-1 \\ 0 & \text{otherwise} \end{cases} \quad \begin{array}{l} \text{例如, } a=0.5, \text{length}=10 \\ a=0.9, \text{length}=10 \\ a=0.9, \text{length}=20 \end{array}$$

$$2-1-2 \text{ 复指数序列 } x(n) = \begin{cases} (a + jb)^n & 0 \leq n \leq \text{length}-1 \\ 0 & \text{otherwise} \end{cases} \quad \text{例如, } a=0.5, b=0.8, \text{length}=10$$

2-1-3 从正弦信号 $x(t)=\sin(2\pi ft+\text{delta})$ 抽样得到的正弦序列 $x(n)=\sin(2\pi fnT+\text{delta})$ 。如，信号频率 $f=1\text{Hz}$ ，初始相位 $\text{delta}=0$ ，抽样间隔 $T=0.1$ 秒，序列长 $\text{length}=10$ 。

2-1-4 从余弦信号 $x(t)=\cos(2\pi ft + \text{delta})$ 抽样得到的余弦序列 $x(n)=\cos(2\pi fnT + \text{delta})$ 。如，信号频率 $f=1\text{Hz}$ ，初相位 $\text{delta}=0$ ，抽样间隔 $T=0.1$ 秒，序列长 $\text{length}=10$ 。

2-1-5 含两个频率分量的复合函数序列 $x(n)=\sin(2\pi f_1 nT)+\text{delta} \times \sin(2\pi f_2 nT+\text{phi})$ 。如，

频率 f_1 (Hz)	频率 f_2 (Hz)	相对振幅 delta	初相位 phi (度)	抽样间隔 T (秒)	序列长 length
1	3	0.5	0	0.1	10
1	3	0.5	90	0.1	10
1	3	0.5	180	0.1	10

2-2 用 MATLAB，对上述各个序列，重复下列过程。

2-2-1 画出一个序列的实部、虚部、模、相角；观察并记录实部、虚部、模、相角的特征。

2-2-2 计算该序列频谱的幅度和相位、频谱的实部和频谱虚部；观察和并记录它们的特征，给予解释。

备注：这里的频谱是指序列的 DTFT 和 DFT。

2-2-3 观察同种序列取不同参数时的频谱，发现它们的差异，给予解释。

三、主要仪器设备

MATLAB 编程。

四、操作方法和实验步骤

(参见“二、实验内容和步骤”)

五、实验数据记录和处理

5-1 利用 MATLAB 计算得到九个序列, 程序如下:

```
clear;
%real sequence
length_n=[10;10;20];%序列长度
a=[0.5;0.9;0.9];
n1=0:1:length_n(1)-1;
n2=0:1:length_n(2)-1;
n3=0:1:length_n(3)-1;
x1=a(1).^n1;
x2=a(2).^n2;
x3=a(3).^n3;

%Complex sequence
re=0.5;
im=0.8;
x4=(re+im*i).^n1;

%sin/cos sequence
f1=1;f2=3;%频率
delta=0;%正弦信号和余弦信号的初始相位
T=0.1;%抽样间隔
phi=[0;pi/2;pi];%复合函数的初始相位
x5=sin(2*pi*f1*n1*T+delta);
x6=cos(2*pi*f1*n1*T+delta);
x7=sin(2*pi*f1*n1*T)+0.5*sin(2*pi*f2*n1*T+phi(1));
x8=sin(2*pi*f1*n1*T)+0.5*sin(2*pi*f2*n1*T+phi(2));
x9=sin(2*pi*f1*n1*T)+0.5*sin(2*pi*f2*n1*T+phi(3));
```

5-2 利用 MATLAB 构造画出每个序列的实部、虚部、模、相角的函数 fundraw, 代码如下:

```
function fundraw(n,x)%函数名fundraw, 输入序列长度, 序列函数
subplot(2,2,1);%实部
stem(n,real(x));
title('real part');
```

```
subplot(2,2,2);%虚部
stem(n,imag(x));
title('imaginary part');

subplot(2,2,3);%模
stem(n,abs(x));
title('magnitude part');

subplot(2,2,4);%相角
stem(n,angle(x));
title('phase part');
end

5-3 求序列的 DTFT 的函数 funDTFT，代码如下：

function funDTFT(x,n)
    k=-4000:4000;%控制作图范围
    w=(pi/1000)*k;%omega，即横坐标
    X_w=x*(exp(-j*pi/1000)).^(n'*k);%DTFT，得到频域上的表达式
    magX = abs(X_w);%幅度
    angX = angle(X_w);%相角
    realX = real(X_w);%实部
    imagX = imag(X_w);%虚部

    subplot(2,2,1);
    plot(w/pi,magX);
    title('Magnitude Part');
    xlabel('w/pi');ylabel('Magnitude');

    subplot(2,2,2);
    plot(w/pi,angX);
    title('Angle Part');
    xlabel('w/pi');ylabel('Radians');

    subplot(2,2,3);
    plot(w/pi,realX);
    title('Real part');
    xlabel('w/pi');ylabel('Real');

    subplot(2,2,4);
    plot(w/pi,imagX);
    title('Imaginary Part');
    xlabel('w/pi');ylabel('Imaginary');
end

5-4 求序列 DFT 的函数 funDFT，代码如下：

function funDFT(x,n)
```

```
N=length(n);%求序列长度，确定参数N
k=-2*N:1:N*2;%横坐标范围
X_k=x*(exp(-j*2*pi/N)).^(n'*k);%DFT，得到频域上的函数
magX = abs(X_k);%幅度
angX = angle(X_k);%相位
realX = real(X_k);%实部
imagX = imag(X_k);%虚部

subplot(2,2,1);
stem(k,magX);
title('Magnitude Part');
xlabel('k');ylabel('Magnitude');

subplot(2,2,2);
stem(k,angX);
title('Angle Part');
xlabel('k');ylabel('Radians');

subplot(2,2,3);
stem(k,realX);
title('Real part');
xlabel('k');ylabel('Real');

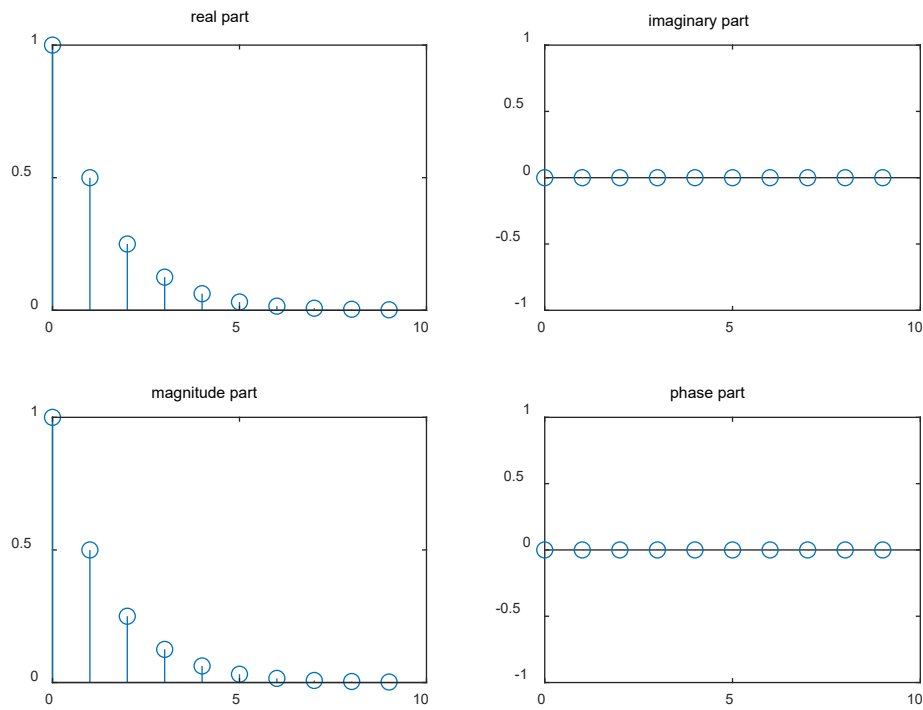
subplot(2,2,4);
stem(k,imagX);
title('Imaginary Part');
xlabel('k');ylabel('Imaginary');
end
```

六、实验结果与分析

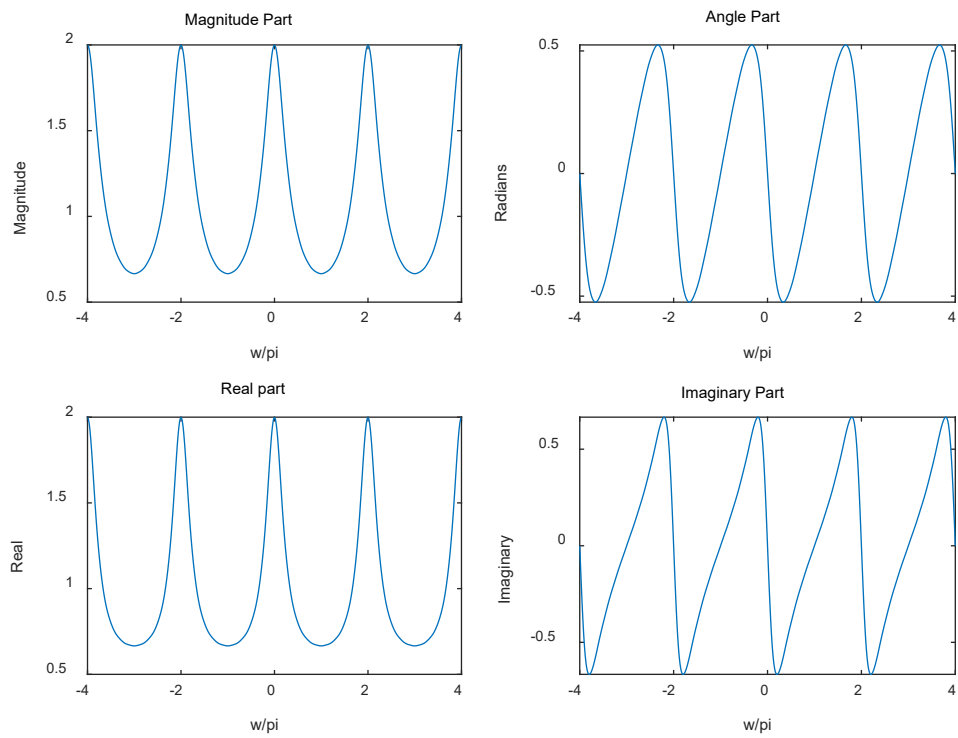
6-1 各种序列的图形（时域）和频谱（频域）各有何特征，给予解释。

6-1-1 实指数序列 $a=0.5$ ， $\text{length}=10$ 时域和频域图像如下：

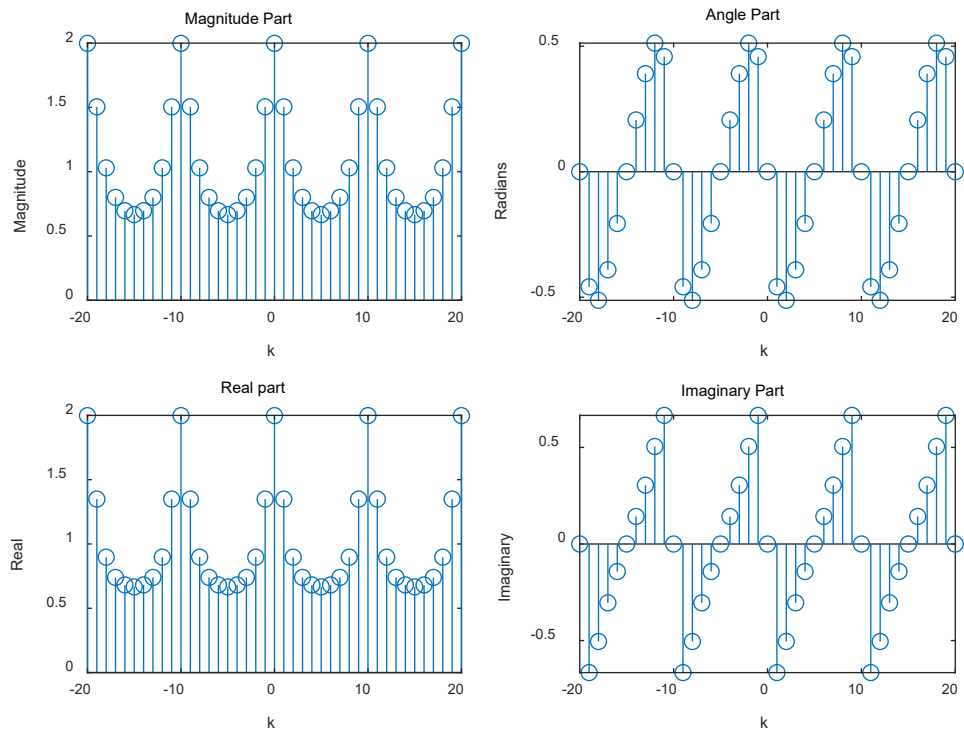
x1



DTFT

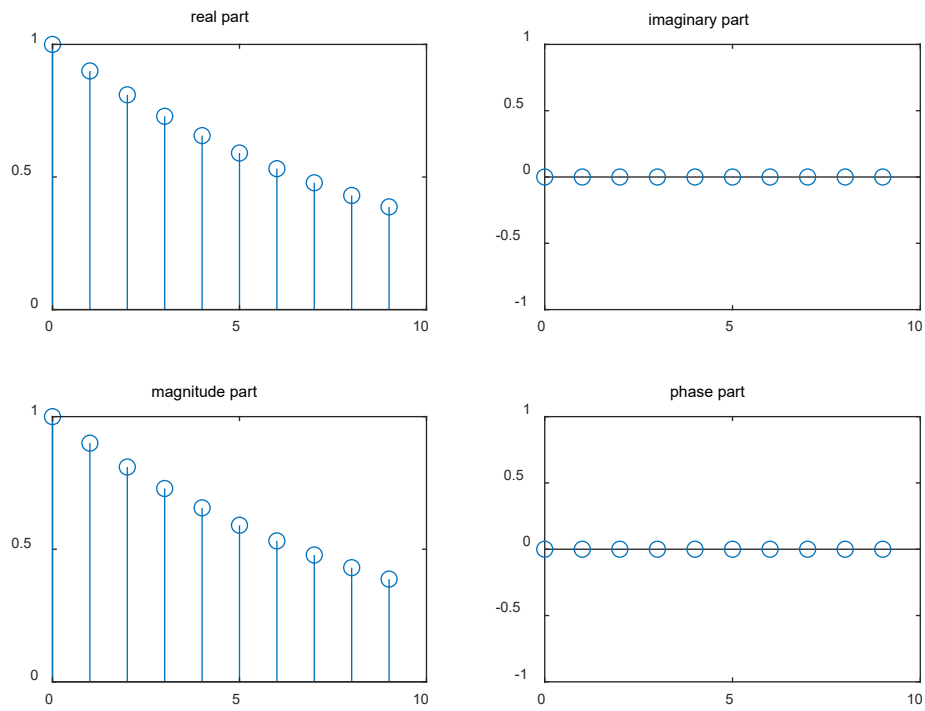


DFT

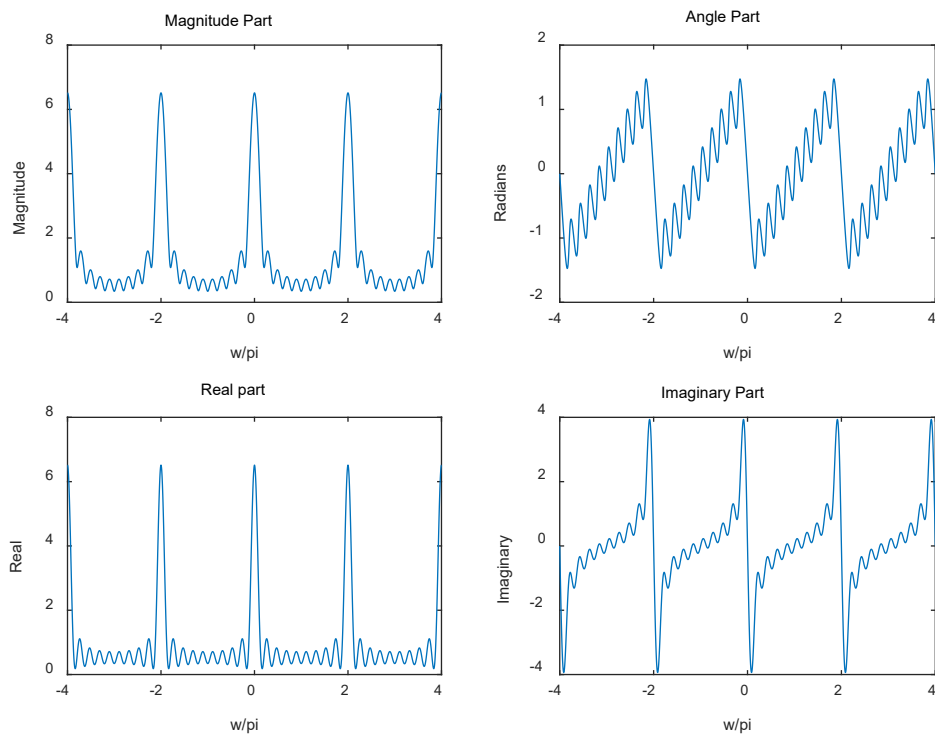


6-1-2 实指数序列 $a=0.9$, $\text{length}=10$ 时域和频域图像如下:

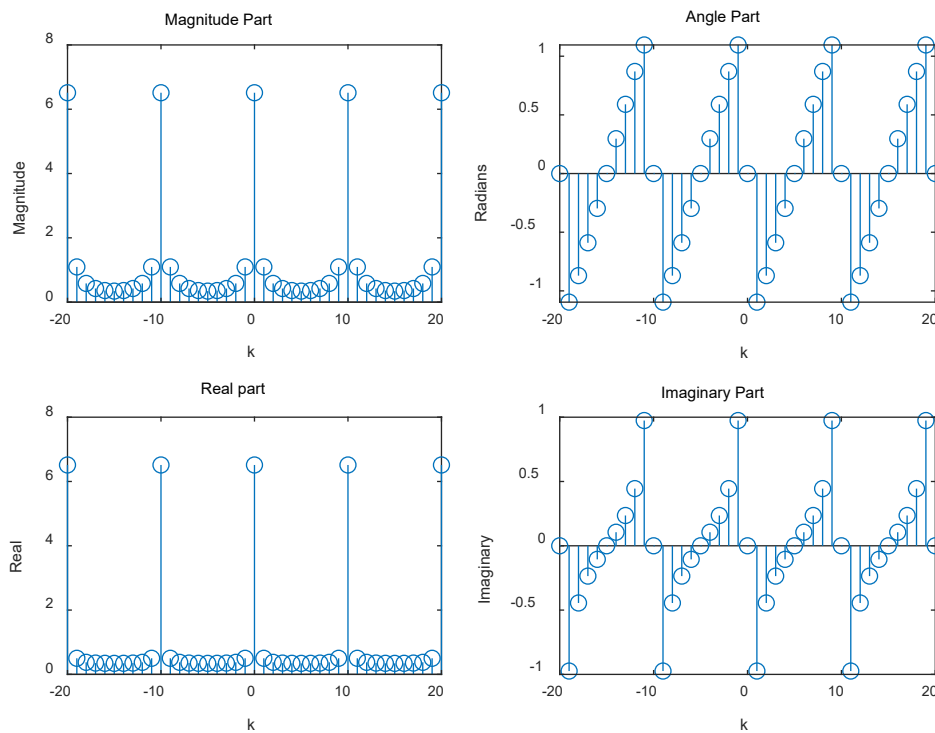
x2



DTFT

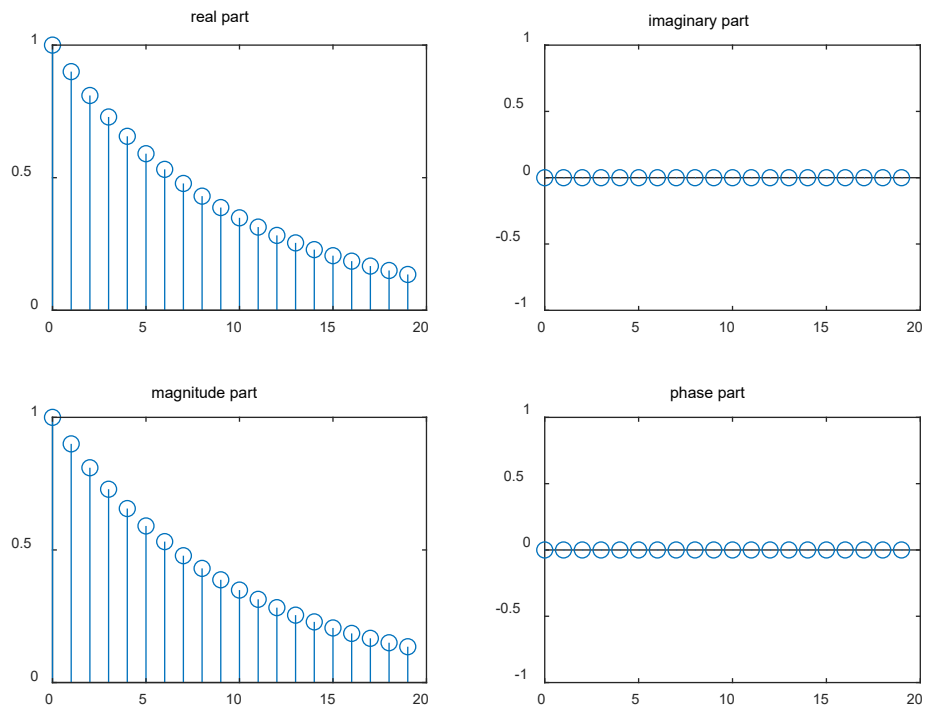


DFT

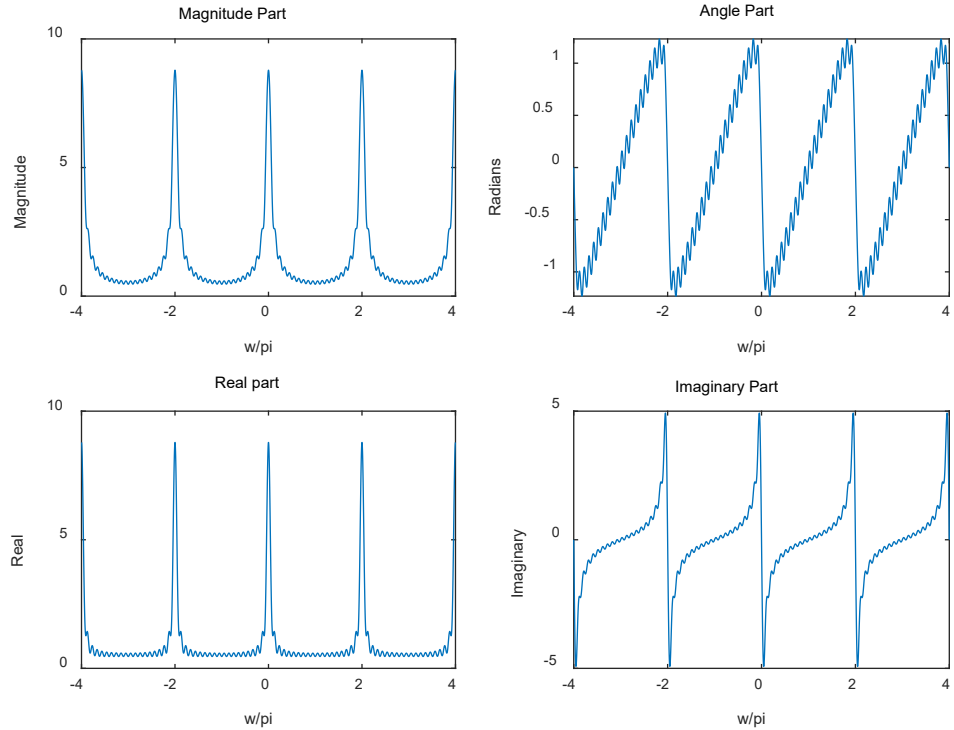


6-1-3 实指数序列 $a=0.9$, $\text{length}=20$ 时域和频域图像如下：

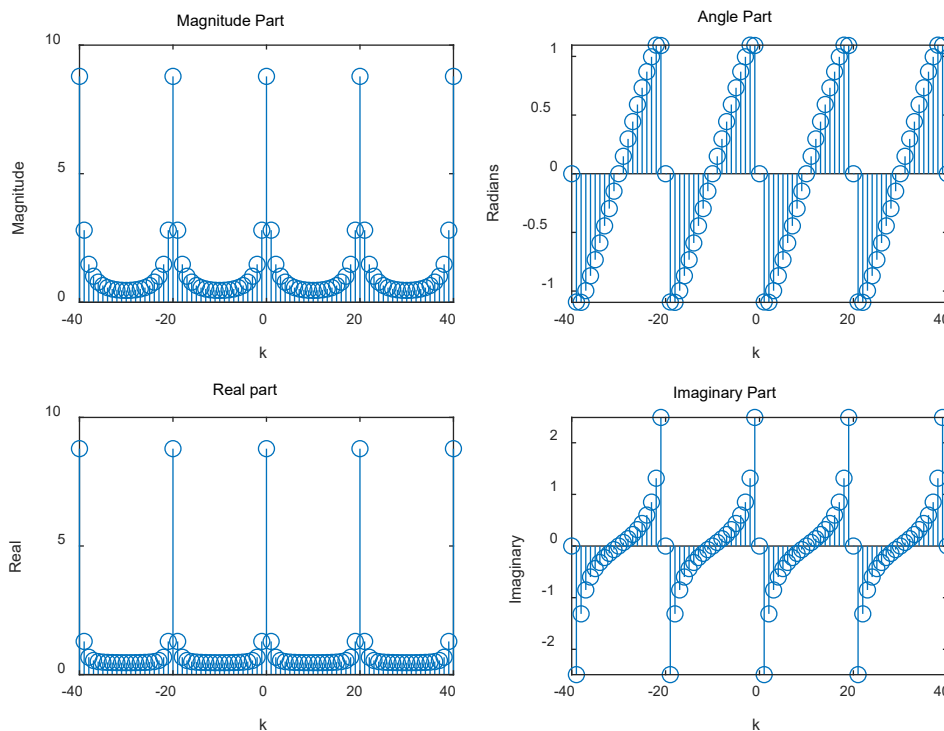
x3



DTFT



DFT



分析：

1.以上三个信号均为实信号，时域上信号虚部和相位均为 0，实部等于幅度，呈指数关系递减， x_1 在 $n=9$ 时，近似为 0， x_2 在 $n=9$ 时，近似为 0.5， x_3 在 $n=19$ 时，接近为 0

2.频谱幅度和相位均以 2π 为周期，符合离散时间信号傅里叶变换后以 2π 为周期的事实

3.从频谱可以发现，三个信号频谱实部均为偶对称，虚部为奇对称；当 a 趋近于 1，频谱越集中在 0 处，即直流分量越多

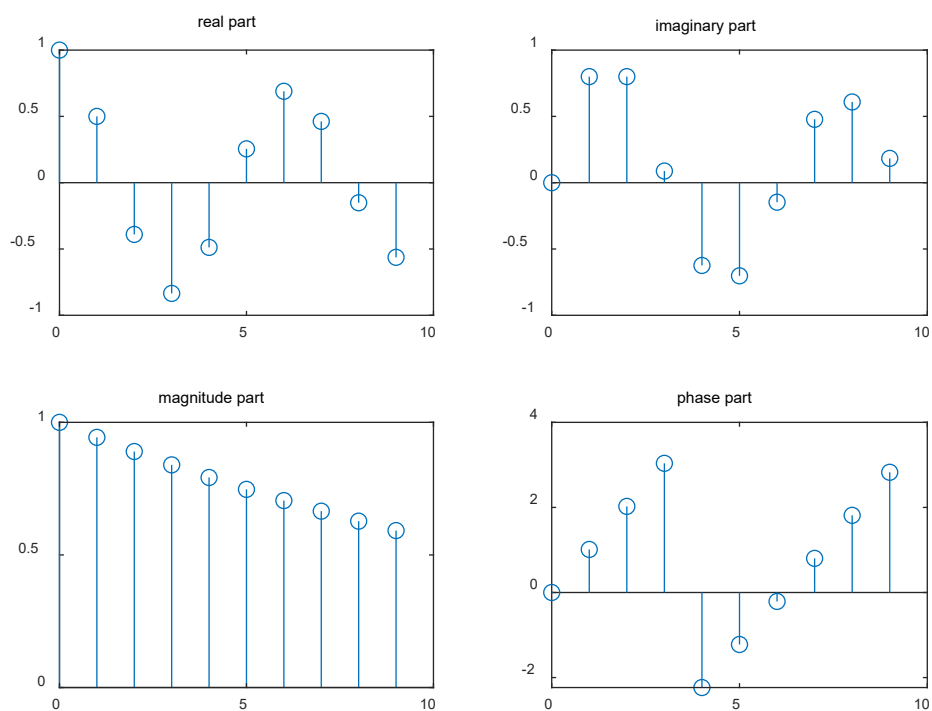
4. x_1 频谱幅度在 π 处取极小，0 和 2π 处取极大。因为 $n=9$ ，近似为 0，可将原信号近似为： $x(n) = a^n u(n)$ ，故其 DTFT 表达式近似为： $X(e^{j\omega}) = 1/(1 - ae^{-j\omega})$ ，与所作图像相符

5. x_2, x_3 频谱图像不光滑，但总体趋势与 $a=0.5$ 时的序列相近，原因是在 $n=9$ 和 $n=19$ 时，信号值与 0 有差距，原信号不能直接近似为 $x(n) = a^n u(n)$ ，由 DTFT 表达式 $X(e^{j\omega}) = \sum x(n)e^{-j\omega n}$ ，当 n 取越大，越接近 $x(n) = a^n u(n)$

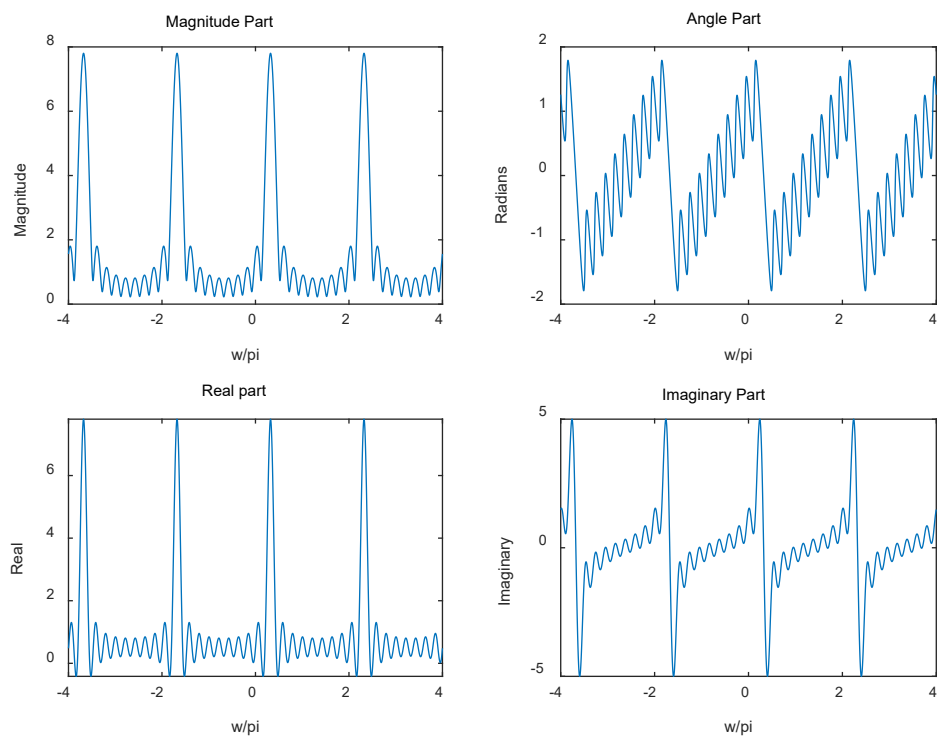
5.由图像可以看出，DFT 相当于对 DTFT 采样，周期采样数与序列长度相等

6-1-4 复指数序列，时域和频域图像如下：

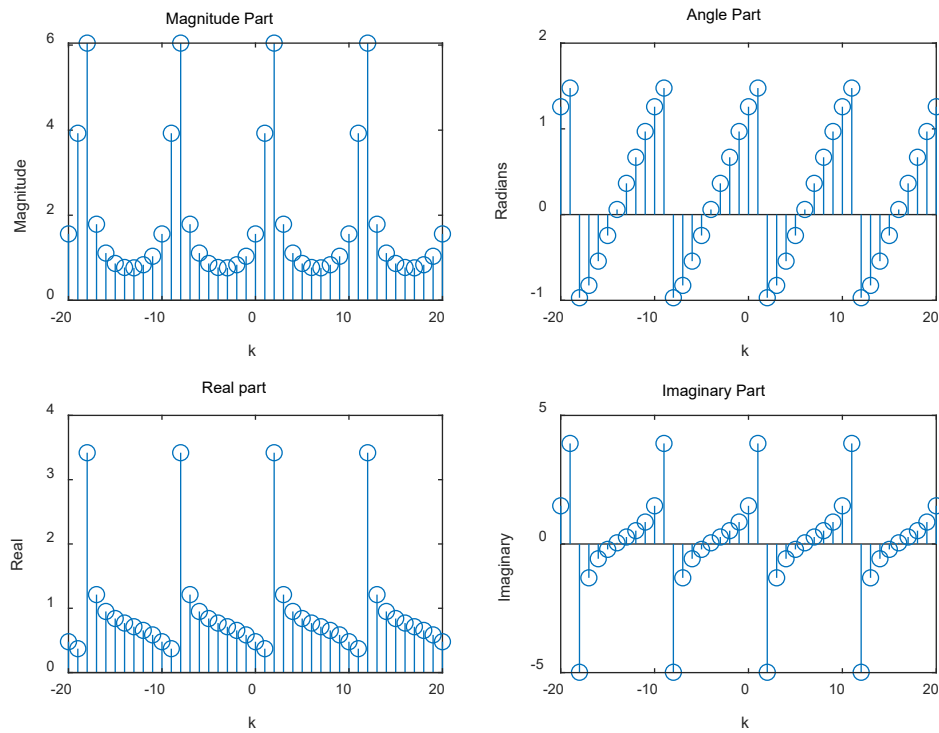
x4



DTFT



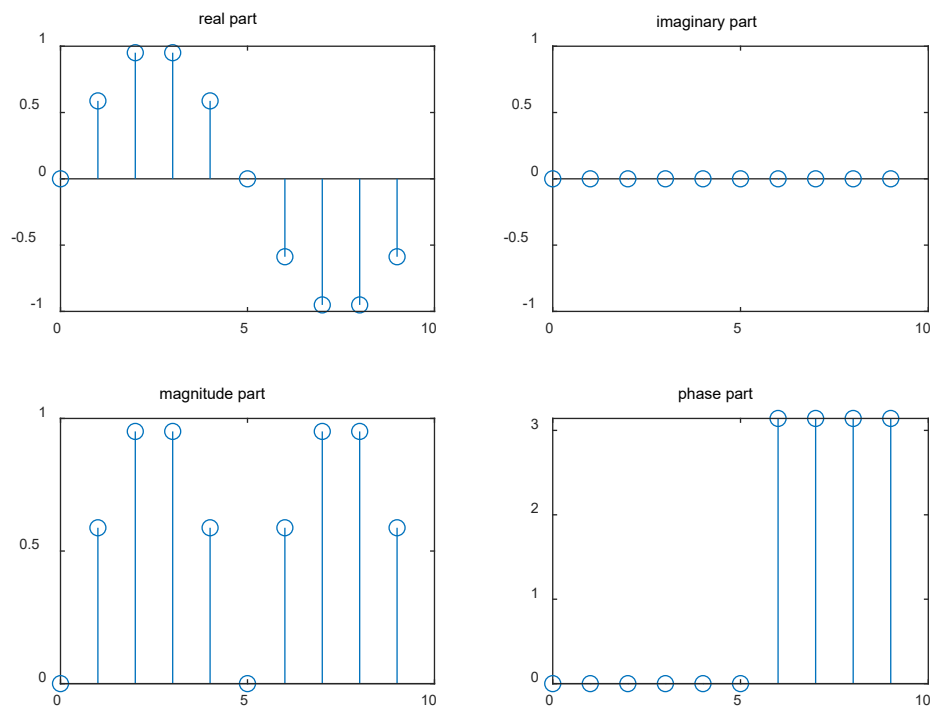
DFT



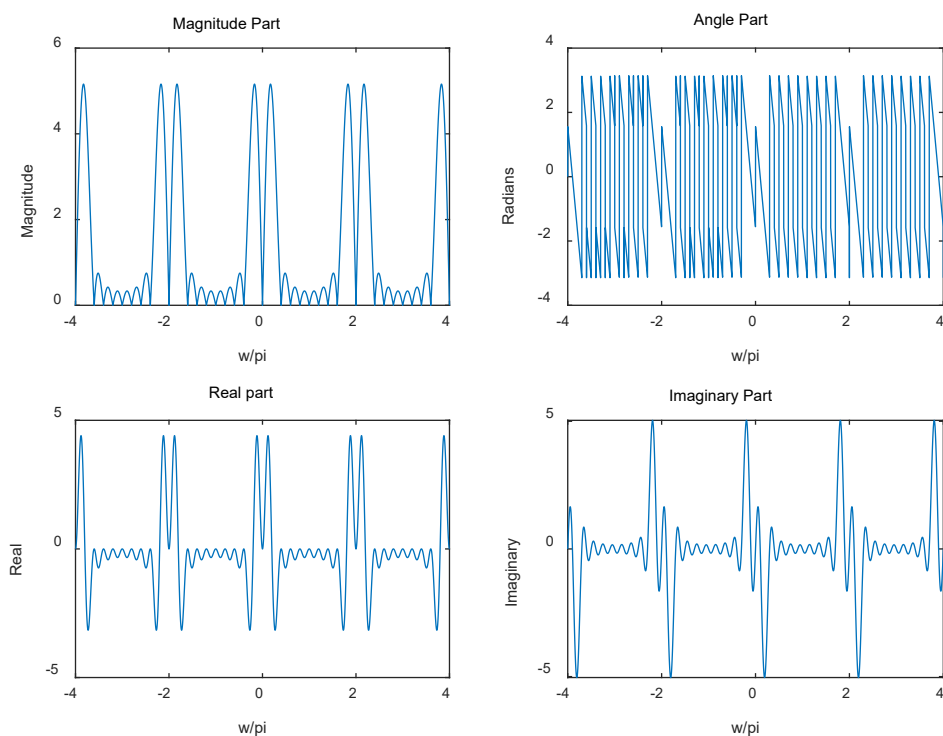
分析：1.复指数序列不具有对称性，时域幅度图呈指数递减

6-1-5 正弦信号时域和频域图像如下：

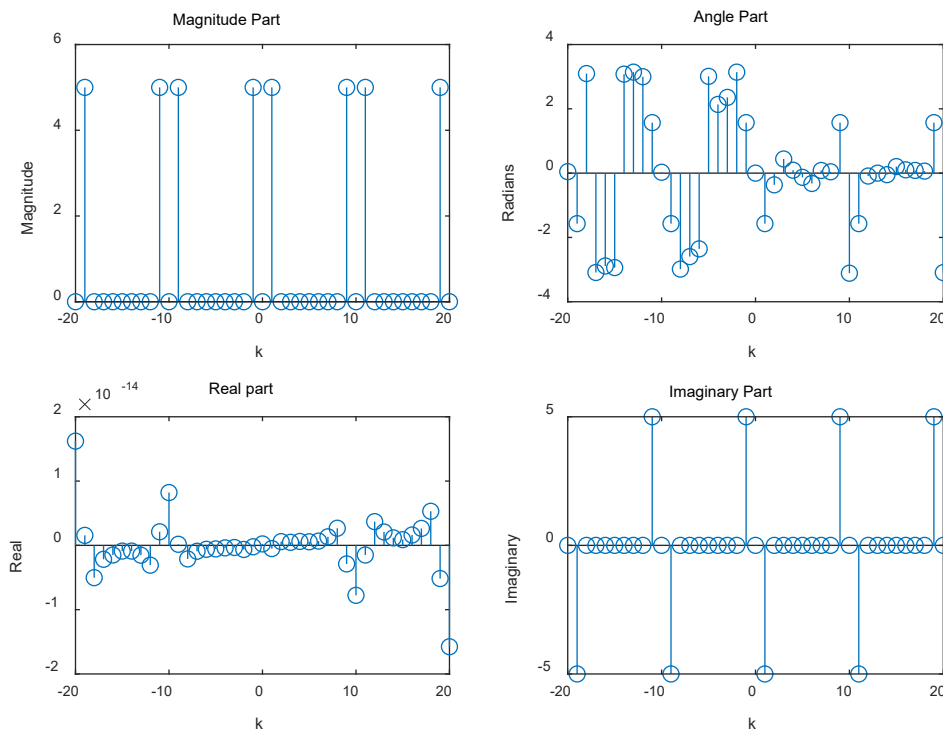
x5



DTFT

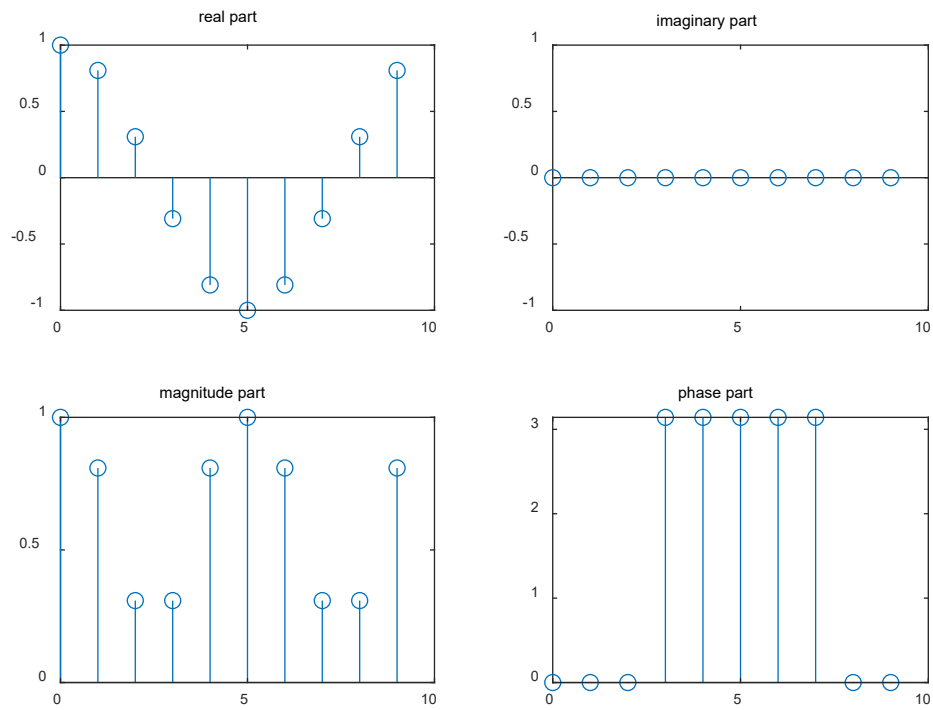


DFT

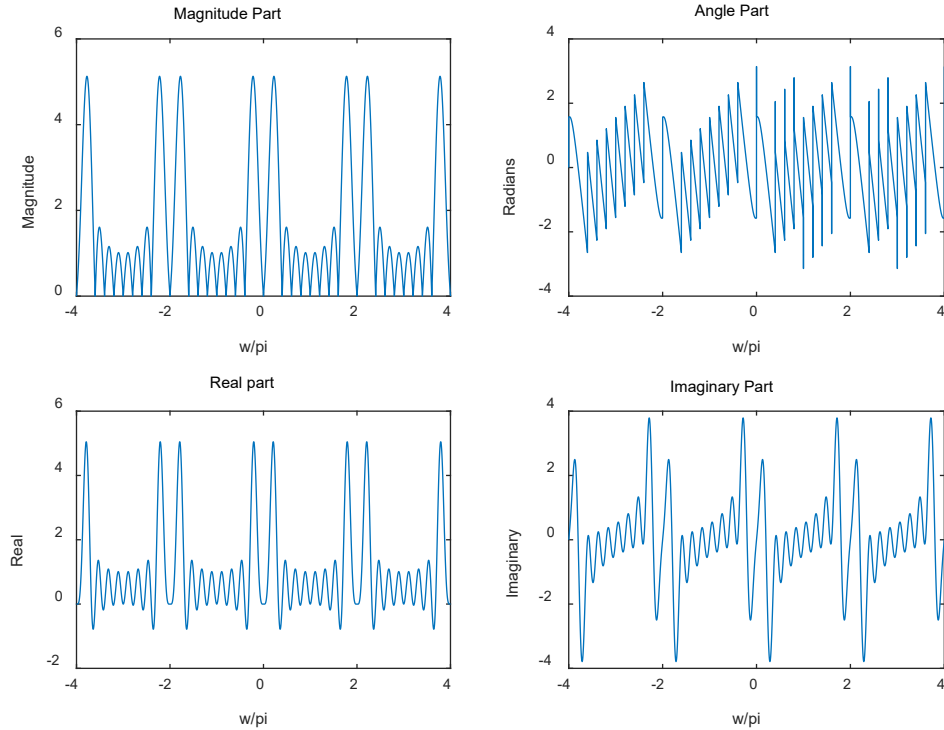


6-1-6 余弦信号时域和频域图像如下：

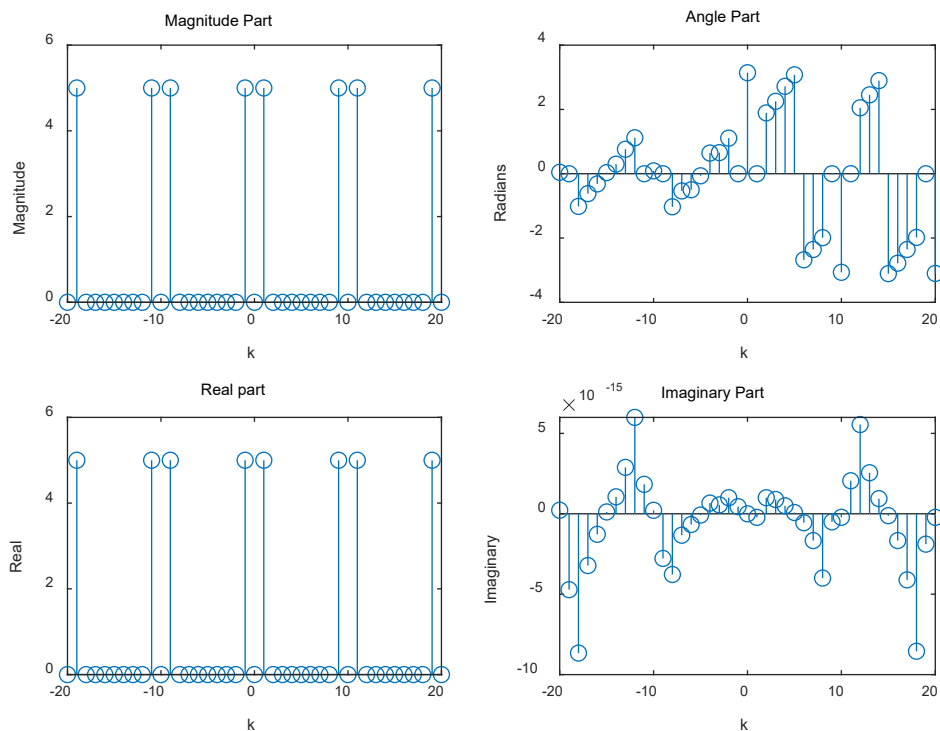
x6



DTFT



DFT



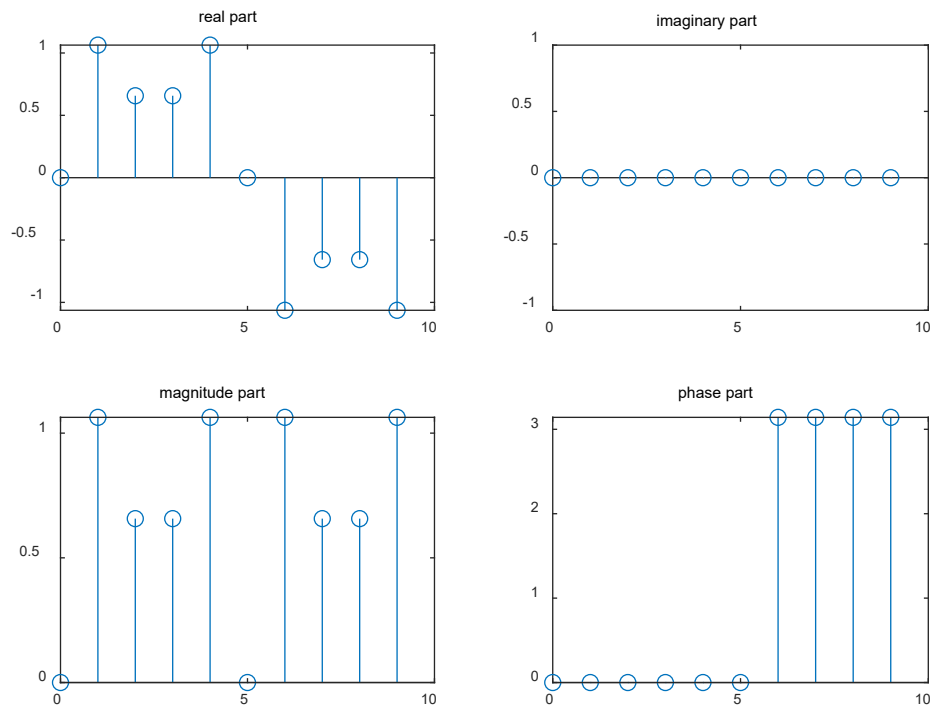
分析：

1.由时域图，x5 序列为实序列，奇对称，虚部为 0，相角在 x5 为正时为 0，为负时为 π ；x6 序列为实序列，偶对称，虚部为 0，相角在 x6 为正时为 0，为负时为 π

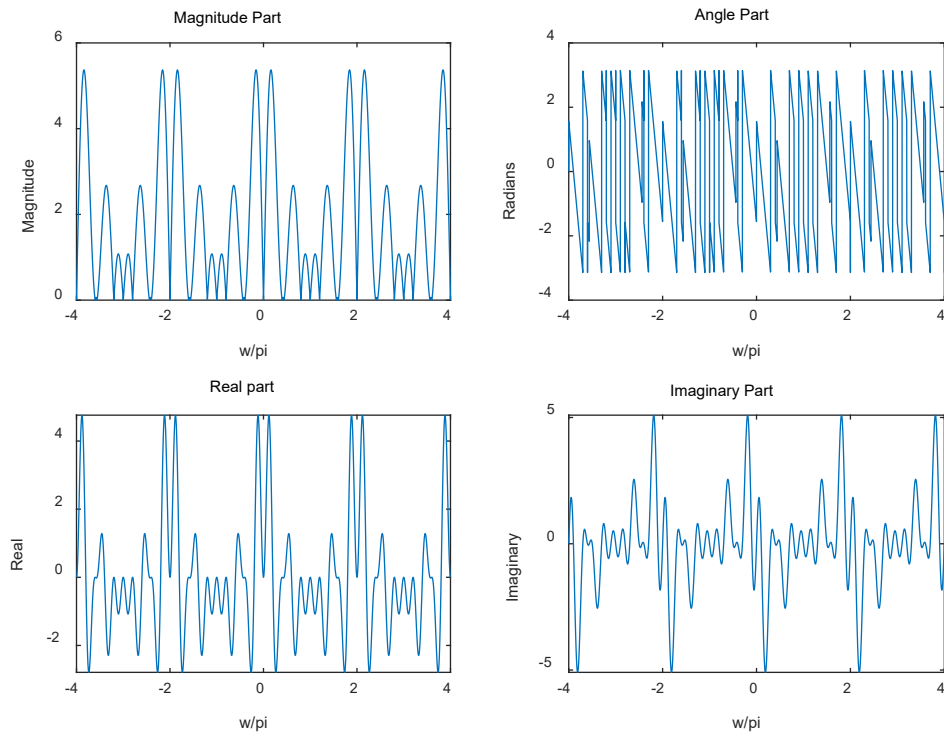
2.由频谱，幅度和虚部符合预期，即仅在 $k=\pm 1$ 时有值，其余为 0，其中 x5 频谱虚部满足奇对称，x6 频谱实部满足偶对称，符合 DTF 变换后为冲击的事实；但实部不完全符合理论值 0，而是接近 0 的一系列值，这可能是因为 matlab 计算采用离散值，计算不完全精确

6-1-7 含两个频率分量的复合函数序列， $\phi=0$ 的时域和频域图像：

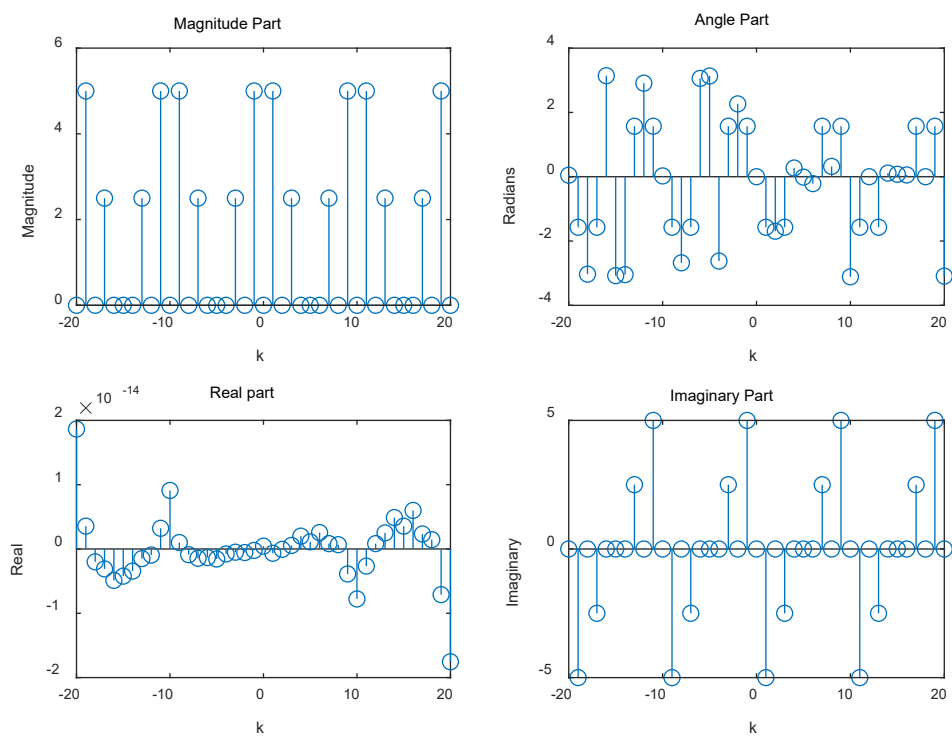
x7



DTFT

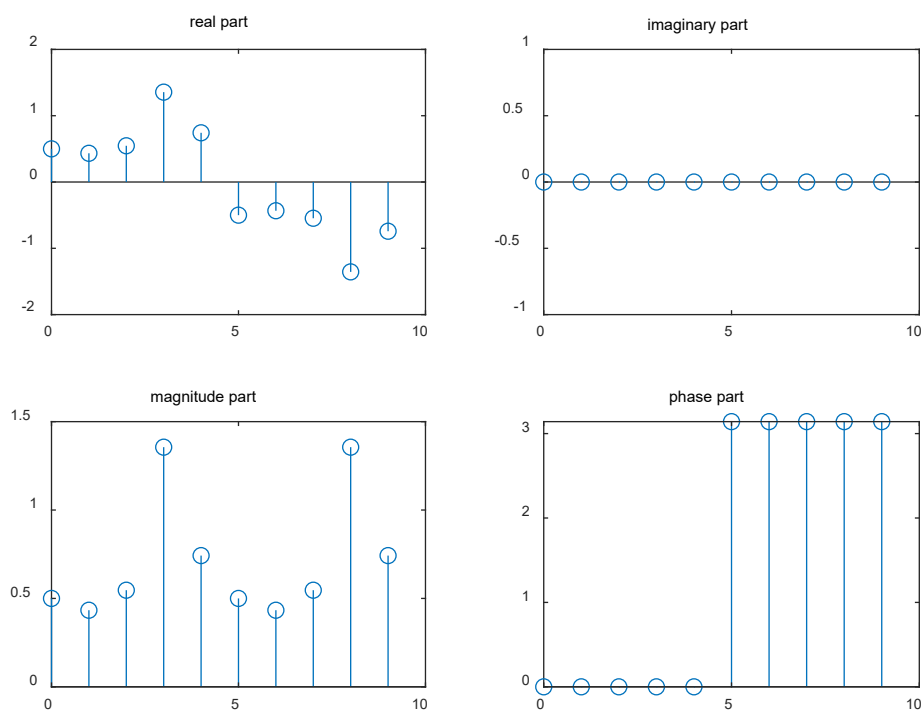


DFT

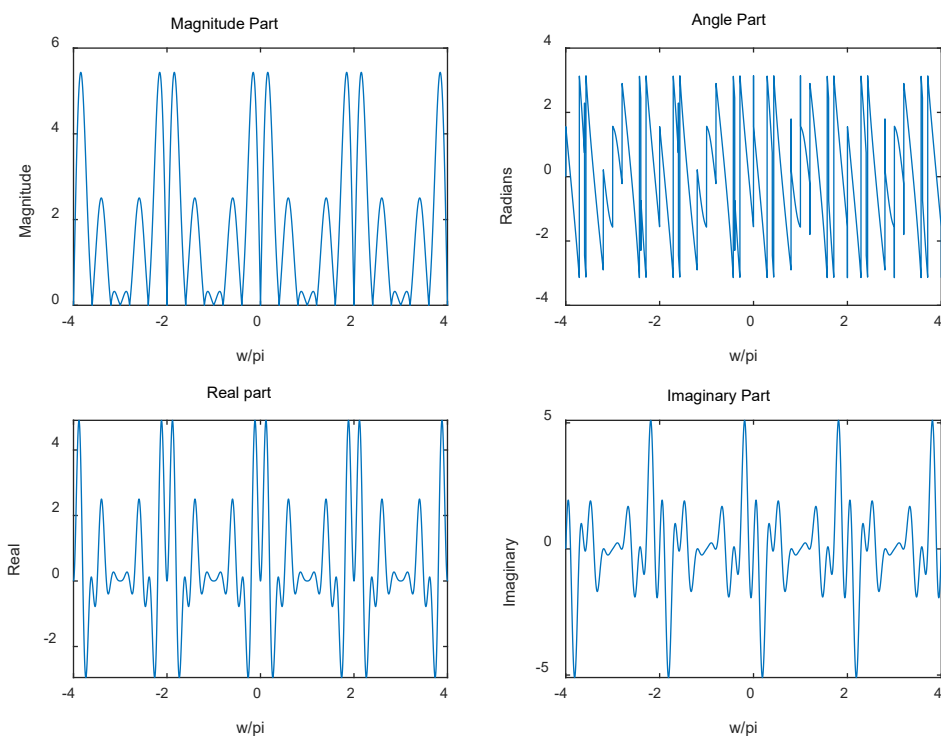


6-1-8 含两个频率分量的复合函数序列， $\phi = \pi/2$ 的时域和频域图像：

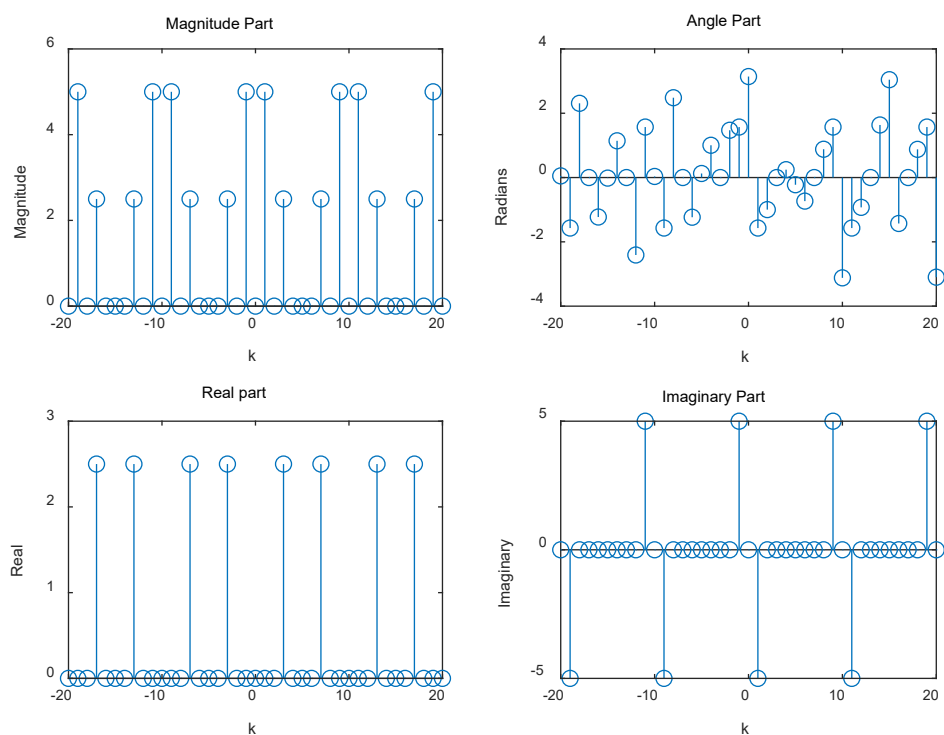
x8



DTFT

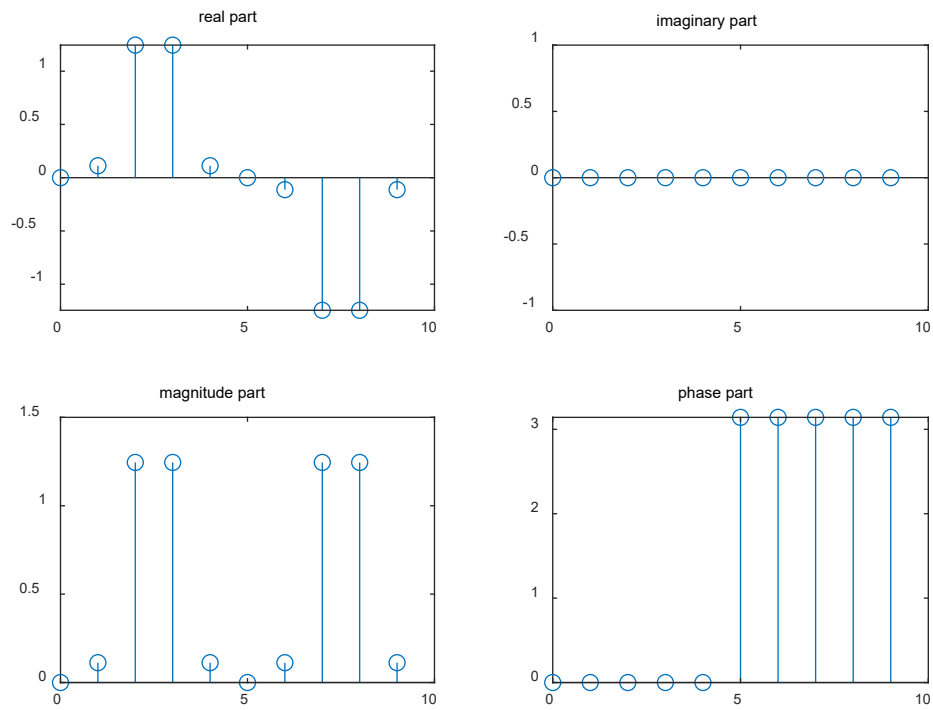


DFT

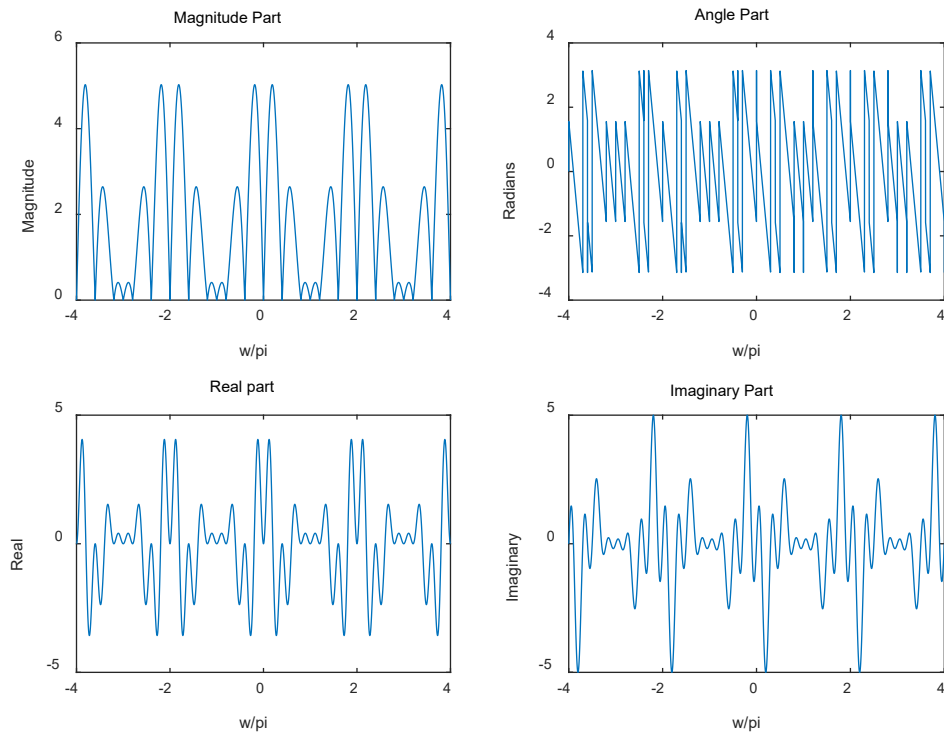


6-1-9 含两个频率分量的复合函数序列, $\phi = \pi$ 的时域和频域图像:

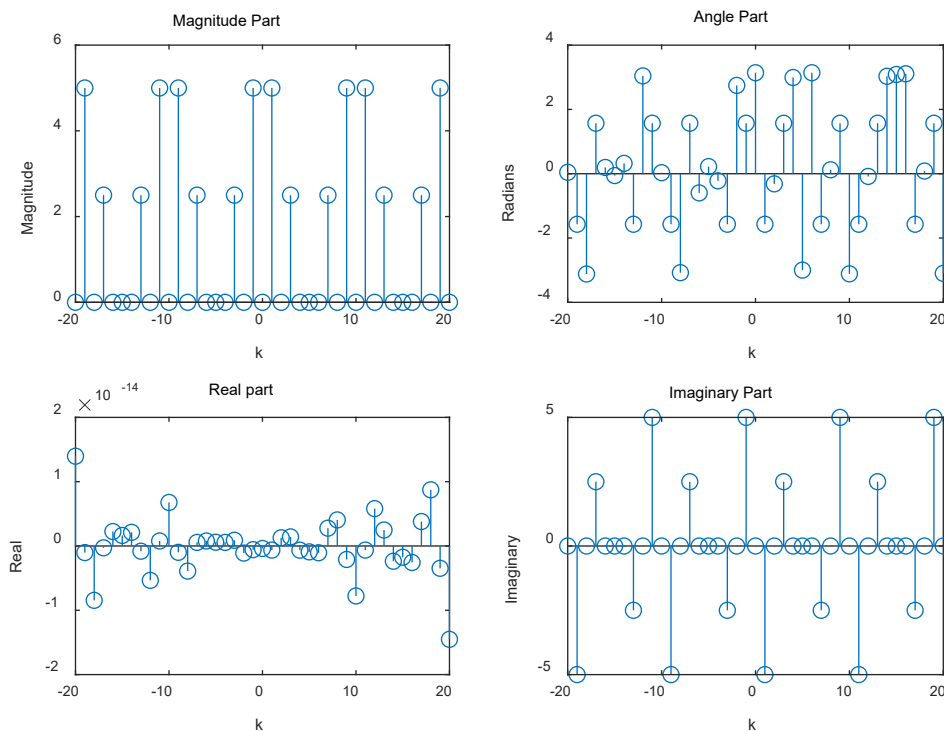
x9



DTFT



DFT



分析：

1. 由时域图，三个序列均为两个实正弦序列的结合，均为奇对称，虚部为 0，相角在序列值为正时为 0，为负时为 pi。

2. 对两个正弦序列分别做 DFT 再相加，由 x5 和 x6 的结果可知，正弦频谱实部为 0，余弦频谱虚部为 0，故 x7, x9 频谱实部为一系列趋近于零的值，虚部为满足奇对称的冲击函数，符合结果；x8 为正弦序列和余弦序列的和，故频谱实部为偶对称冲击，虚部为奇对称冲击，符合预期。

6-2 DFT 物理意义。X(0)、X(1)和 X(N-1)的物理意义。

6-2-1 DFT 的物理意义

DFT 是序列傅里叶变换的等距采样，也是其 Z 变换在单位圆上的等角度采样。

6-2-2 X(0)、X(1)和 X(N-1)的物理意义。

$X(0) = \sum_{n=0}^{N-1} x(n)$ ，即信号直流分量的频谱值。

$X(1) = \sum_{n=0}^{N-1} x(n)e^{-jk\frac{2\pi}{N}n}$ ，即信号在基频处的幅度与相位。

$X(N-1) = \sum_{n=0}^{N-1} x(n)e^{-jk\frac{2\pi}{N}n(N-1)}$ ，即信号在 N 次谐波处的幅度和相位。

6-3 DFT 的主要性质。

1. 线性性质

$$\begin{aligned}
 y[n] &= ax[n] + bw[n] \xrightarrow{DFT} Y[k] = \sum_{n=0}^{N-1} (ax[n] + bw[n])W_N^{kn} \\
 &= a \sum_{n=0}^{N-1} x[n]W_N^{kn} + b \sum_{n=0}^{N-1} w[n]W_N^{kn} \\
 &= aX[k] + bW[k]
 \end{aligned}$$

2. 时移性质

$$\begin{aligned}
 x[n - n_0] &\xrightarrow{DFT} \sum_{n=0}^{N-1} x[\langle n - n_0 \rangle_N] e^{-j\frac{2\pi k}{N}n} \\
 &\xrightarrow{m=n-n_0} \sum_{m=-n_0}^{N-n_0-1} x[\langle m \rangle_N] e^{-j\frac{2\pi k}{N}(m+n_0)} \\
 &= W_N^{kn_0} \sum_{m=0}^{N-1} x[m] W_N^{km} \\
 &= W_N^{kn_0} X[k]
 \end{aligned}$$

3. 频移性质

$$W_N^{-k_0 n} x[n] \xrightarrow{DFT} \sum_{n=0}^{N-1} x[n] W_N^{(k-k_0)n} = X[\langle k - k_0 \rangle_N]$$

4. 时域反转

$$\begin{aligned}
 x[\langle -n \rangle_N] &\xrightarrow{DFT} \sum_{n=0}^{N-1} x[\langle -n \rangle_N] W_N^{kn} \\
 &\xrightarrow{m=-n} \sum_{m=-(N-1)}^0 x[\langle m \rangle_N] W_N^{-km} \\
 &= \sum_{m=0}^{N-1} x[m] W_N^{-km} \\
 &= X[\langle -k \rangle_N]
 \end{aligned}$$

5. 时域共轭

$$\begin{aligned}
 x^*[n] &\xrightarrow{DFT} \sum_{n=0}^{N-1} x^*[n] W_N^{kn} \\
 &= \left(\sum_{n=0}^{N-1} x[n] W_N^{-kn} \right)^* \\
 &= X^*[\langle -k \rangle_N] \\
 x^*[\langle -n \rangle_N] &\xrightarrow{DFT} X^*[k]
 \end{aligned}$$

6. 对称性质

$$\begin{aligned}
 x_{cs}[n] &= \frac{1}{2}(x[n] + x^*[\langle -n \rangle_N]) \xrightarrow{DFT} \frac{1}{2}(X[k] + X^*[k]) = X_{re}[k] \\
 x_{ca}[n] &= \frac{1}{2}(x[n] - x^*[\langle -n \rangle_N]) \xrightarrow{DFT} \frac{1}{2}(X[k] - X^*[k]) = jX_{im}[k] \\
 x_{re}[n] &= \frac{1}{2}(x[n] + x^*[n]) \xrightarrow{DFT} \frac{1}{2}(X[k] + X^*[\langle -k \rangle_N]) = X_{cs}[k] \\
 jx_{im}[n] &= \frac{1}{2}(x[n] - x^*[n]) \xrightarrow{DFT} \frac{1}{2}(X[k] - X^*[\langle -k \rangle_N]) = X_{ca}[k]
 \end{aligned}$$

7. 卷积性质（圆周卷积）

$$\begin{aligned}
 x[n] \otimes w[n] &= \sum_{m=0}^{N-1} x[m]w[\langle n-m \rangle_N] \\
 &\xrightarrow{DFT} \sum_{n=0}^{N-1} \sum_{m=0}^{N-1} x[m]w[\langle n-m \rangle_N] W_N^{kn} \\
 &= \sum_{m=0}^{N-1} x[m] \sum_{n=0}^{N-1} \frac{1}{N} \sum_{r=0}^{N-1} W[r] W_N^{r(n-m)} W_N^{kn} \\
 &= \sum_{m=0}^{N-1} x[m] \sum_{r=0}^{N-1} W[r] W_N^{km} \left(\frac{1}{N} \sum_{n=0}^{N-1} W_N^{k-r} \right) \\
 &= \sum_{m=0}^{N-1} x[m] W_N^{km} W[k] \\
 &= X[k] W[k]
 \end{aligned}$$

8. Parseval 定理

$$\begin{aligned}
 \sum_{n=0}^{N-1} x[n]y^*[n] &= \sum_{n=0}^{N-1} x[n] \left(\frac{1}{N} \sum_{k=0}^{N-1} Y[k] W_N^{-kn} \right)^* \\
 &= \frac{1}{N} \sum_{k=0}^{N-1} Y^*[k] \sum_{n=0}^{N-1} x[n] W_N^{kn} \\
 &= \frac{1}{N} \sum_{k=0}^{N-1} X[k] Y^*[k]
 \end{aligned}$$